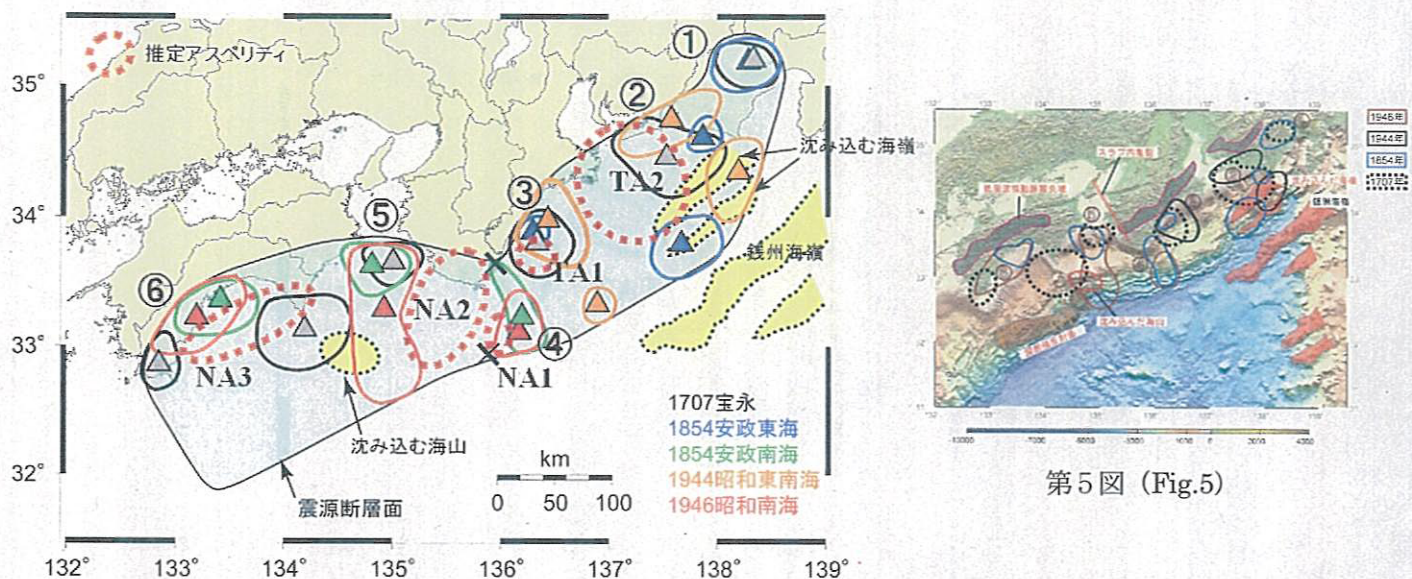


第3図 1946年南海地震の震度インバージョン結果。実線で囲まれた領域(S1-S3)が短周期域<sup>5)</sup>で、△印はそれぞれ短周期域中心を示す。×印は気象庁による震央である。☆は橋本・菊地<sup>11)</sup>によるイベント位置で、Baba<sup>6)</sup>によるすべり分布も示す。点線で囲まれた領域(NA1-NA3)は推定されるアスペリティである。

Fig.3 SPRZ's from the 1946 Nankai earthquake. Areas with S1-S3 surrounded by the solid curves show SPRZ's<sup>5)</sup> and △'s show their centers. × is the epicenter by JMA. NA1 and NA2 indicate areas of the asperity estimated based on the results of the analysis of regional long-period seismograms<sup>11)</sup> and the inversion of observed tsunami waves<sup>6)10)</sup>



第5図 (Fig.5)

第4図 宝永、安政、昭和の地震の震度インバージョン結果。実線で囲まれた領域が短周期域<sup>5)</sup>で、△印はそれぞれの短周期域中心を示す。X印は昭和の地震の震央および点線で囲まれた領域(TA1-TA2, NA1-NA3)は推定されたアスペリティである(第2図、第3図参照)。

Fig.4 SPRZ's integrated from the inversion analysis for the Hoei, Ansei and Showa earthquakes. Areas surrounded by the solid curves show SPRZ's<sup>5)</sup> and △'s show their centers. × is the epicenter of the Showa events and areas surrounded by the broken curves show the asperities estimated for the showa events (Figs. 2 and 3).

第5図 短周期域と海底地形、深部低周波微動発生域、深部強反射面域、スラブの裂け目、海山・海嶺の潜り込み。  
Fig.5 SPRZ's for Hoei, Ansei and Showa earthquakes. Epicenters of low-frequency seismic tremor, a deep strong reflector, a tear-in-slab, and a subducted seamount and ridges are depicted on topography (image courtesy of Y. Kaneda, JAMSTEC).